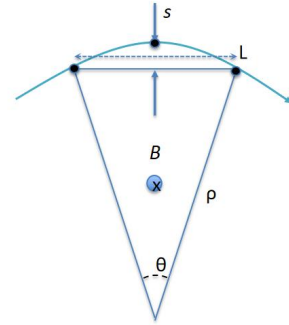


作业

Q1: 位置分辨与动量误差的资源博弈

假设你正在设计一个硅微条桶部径迹探测器，用于类似 HL-LHC 的实验。物理学家要求在 $p_T=100 \text{ GeV}/c$ 处，相对动量测量误差 σ_{p_T}/p_T 必须缩小一半。



- 在高动量极限下，从带电粒子在均匀磁场中的轨迹几何出发，推导相对动量误差 σ_{p_T}/p_T 的简化表达式。假设位置测量误差 σ_x 与硅微条 pitch 近似成正比（在二值读出、电荷分享可忽略的近似下）。
- 基于上述简化公式，提出三个独立的方案，使动量误差在高动量极限下缩小一半。对每个方案，指出你改变了哪个物理/工程参数并简要说明理由。
- 请分别指出这三个方案如果在真实工程中落地，会引发哪些致命的系统级代价？对每个方案，至少列出 2-3 条具体代价，并说明它们会如何影响。
- 在典型 HL-LHC / CEPC 类实验条件下，你最不推荐哪个方案？为什么？必须明确选择一个方案作为“最不推荐”的方案，并说明理由。然后回答：
 - 如果坚持这个方案，你会如何修改系统其他部分（如 ASIC 架构、冷却、材料选择、服务线路）来尽量补偿副作用？
 - 如果无法有效补偿，要说明为什么“这个方案在系统上不可行”。

a) 高动量极限下 σ_{p_T}/p_T 推导

1. 磁场中带电粒子轨迹基础关系

垂直磁场 B 中，带电粒子横动量满足：

q 粒子电荷， B 磁场磁感应强度， ρ 轨迹曲率半径。

设探测器弦长 L ，sagitta（弧矢） s ，小角度近似（高动量 $\rho \gg L$ ， θ 很小）几何关系：

代入动量公式：

2. 误差传递

仅考虑位置测量误差 σ_x ，弧矢测量误差 $\sigma_s \approx \sigma_x$ （单层硅条位置误差直接传递给 sagitta）。

对 $p_T(s)$ 做误差传递：

求导： $\ln p_T = \ln(qBL^2/8) - \ln s$ ， $\partial \ln p_T / \partial s = -1/s$ ，因此

将 $s = L^2/(8\rho)$ 、 $\rho = p_T/(qB)$ 代入消去 s ：

3. 题目给定条件： $\sigma_x \propto \text{pitch}$

设硅微条间距 p (pitch)， $\sigma_x = kp$ ， k 为常数（二值读出、无电荷分享近似），代入得到高动量极限简化表达式：

核心结论：高动量区相对动量误差满足

p_T 越高，动量误差线性增大，这是强子对撞机径迹探测器核心约束。

b)三种独立方案，将 σ_{p_T}/p_T 缩小一半

目标： $\sigma_{p_T}/p_T \rightarrow \frac{1}{2} \cdot \frac{\sigma_{p_T}}{p_T}$ ，由 $\frac{\sigma_{p_T}}{p_T} \propto \frac{p}{BL^2}$ ，三个独立可调参数：条间距 p 、磁场 B 、探测器弦长 L 。

方案 1：减小硅条 pitch（微条间距 $p \rightarrow p/2$ ）

修改参数：硅微条间距 p 减半

理由： $\sigma_{p_T}/p_T \propto p$ ， p 直接正比于位置误差 σ_x ， p 减半则 σ_x 减半，动量相对误差同步减半。

方案 2：提升磁场强度 $B \rightarrow 2B$

修改参数：螺线管磁场磁感应强度加倍

理由： $\sigma_{p_T}/p_T \propto 1/B$ ，磁场越强，相同横动量粒子曲率半径越小、sagitta 越大，sagitta 相对测量误差降低，动量误差反比缩小。

方案 3：增大探测器弦长 $L \rightarrow \sqrt{2}L$

修改参数：径迹探测器内外层径向跨度/探测弦长放大 $\sqrt{2}$ 倍

理由： $\sigma_{p_T}/p_T \propto 1/L^2$ ，弦长平方项抑制误差， L 扩大 $\sqrt{2}$ 后 L^2 翻倍，动量误差减半。

c)三个方案落地的系统级致命代价（每方案 2~3 条）

方案 1：Pitch 减半（硅条间距缩小 1/2）

读出通道数量翻倍，电子学功耗与数据量爆炸

相同探测器面积下，条数量 $N \propto 1/p$ ，通道数翻倍；ASIC 芯片数量、前置放大器、模数转换单元同步增加，前端功耗成倍上升，散热压力急剧增大；对撞机事例率下原始数据量翻倍，触发、数据采集（DAQ）带宽、存储成本翻倍。

硅片加工难度与成品率暴跌，造价大幅上涨

更小 pitch 要求更精细光刻工艺，硅微条金属走线、绝缘隔离容错窗口极小；大面积硅传感器良率下降，单探测器造价提升 50%~100%；模块组装、键合工艺精度要求升级，人工与设备成本上升。

电容噪声恶化，位置信噪比下降

单条对地电容 $C \propto 1/p$ ，条变密电容增大，前置放大器输入噪声升高；电荷信号信噪比降低，电荷分享效应不再可忽略，额外引入位置系统误差，抵消部分 pitch 缩小带来的精度增益。

方案 2：磁场 B 加倍（螺线管磁场翻倍）

超导磁铁功耗、制冷负荷指数上升

常规螺线管磁场 $B \propto$ 线圈电流，电流加倍则焦耳热（超导失超风险）、低温制冷机制冷功率大幅提升；液氦/低温制冷系统规模翻倍，制冷厂房、循环管线、低温泵投资与运行电费显著增加。

磁铁体积、重量、结构支撑成本激增

为维持线圈应力、防止超导线圈形变，线圈骨架、低温容器、外部钢结构支撑厚度、承重等级全面升级；磁铁整体重量翻倍，地下实验大厅土建、地基承重改造需要巨额工程投入。

周边探测器电磁干扰（EMI）与材料约束

强杂散磁场扭曲量能器、 μ 子探测器、光电读出器件工作点；探测器内部电子学 ASIC、传感器必须采用高磁屏蔽、抗磁元器件；机械结构不能使用铁磁材料，零部件选材范围大幅收窄，成本上升。

方案 3：弦长 L 放大 $\sqrt{2}$ （探测器径向尺寸扩大）

实验大厅土建与对撞机管道改造

探测器整体外径增大，原有束管、聚焦磁铁、束流管道空间不足，需要改造加速器末端束流光学元件；地下实验洞穴、吊装通道、屏蔽墙体全部重新土建，改造周期长达数年，停机损耗巨大。

材料预算与辐射损伤风险同步上升

硅传感器、支撑结构、冷却管道、服务线缆总覆盖面积增加近一倍；对撞机辐射环境下，更大体积硅探测器受通量辐照总量翻倍，辐照老化速度加快，传感器使用寿命缩短，更换维护成本大幅提高。

粒子多重散射额外系统误差增大

探测器物质厚度、支撑结构、冷却介质总量增加，带电粒子穿过探测器材料时多重库仑散射加剧，引入额外位置抖动误差；该散射误差与 L 正相关，会部分抵消几何尺寸提升带来的动量精度收益。

d) 最不推荐方案：方案 2（磁场强度加倍）

1. 核心理由（HL-LHC/CEPC 对撞机场景）

边际成本远高于另外两种方案，全系统连锁改造不可控

HL-LHC 现有 ATLAS/CMS 螺线管已接近超导工程极限（CMS3.8T、ATLAS2T），磁场翻倍需要全新一代超导线圈、低温制冷系统，改造覆盖加速器、土建、低温、周边探测器全链条；而缩小 pitch、放大探测器尺寸仅改动径迹探测器子系统，耦合范围极小。

运行长期运维成本不可承受

超导磁铁低温系统是实验最耗电、最易故障的子系统，磁场加倍后制冷机 24h 持续运行

电费、失超应急维护、定期超导线圈检修成本呈量级增长；对撞机常年运行预算难以支撑。

对其他子探测器的破坏性干扰无法彻底屏蔽

量能器、 μ 子探测器、前端光电电子学对杂散磁场极度敏感，强磁场下原有读出电路、传感器全部报废，需要同步重新设计所有子探测器，项目整体工期、经费完全失控。

子问题 1：若坚持磁场加倍，如何改造其他系统补偿副作用

ASIC 与前端电子学改造

全部采用抗磁专用 ASIC 设计，芯片内部添加磁屏蔽层；前置放大器使用无磁封装、钽电容、铜引线替代铁磁元件；通道增加数字磁场补偿算法，实时修正磁场漂移带来的信号偏移。

冷却系统升级

采用多级复合制冷机，增加液氦循环回路冗余；探测器采用两相 CO_2 独立冷却，与磁铁低温系统物理隔离，避免热量串扰；开发分布式温度监测，实时抑制线圈热扰动。

材料与机械结构优化

所有支撑骨架、支架选用钛合金、碳纤维无磁复合材料；探测器外围加装多层高磁导率坡莫合金屏蔽筒，分段吸收杂散磁场；束流管道使用无磁不锈钢，加装局部主动补偿线圈抵消束流区残余磁场。

服务线路与 DAQ 优化

信号线缆采用双绞线磁屏蔽电缆，远离磁铁线圈敷设；触发系统增加磁场实时读取通道，在径迹重建算法中引入磁场空间分布修正表，补偿非均匀磁场带来的动量系统误差。

子问题 2：无法有效补偿时，系统不可行的根源

超导物理极限不可突破：现有 NbTi 超导线圈临界电流随磁场升高急剧下降，磁场翻倍后现有线圈材料无法承载，必须更换为 Nb_3Sn 高端超导材料，单磁铁造价提升数倍，项目经费严重超支。

土建与加速器硬件无法改造：地下实验大厅地基承重、束流管道孔径、周边屏蔽墙尺寸是建设初期定型的固定工程，扩建改造需要数年停机，加速器科学产出完全中断，物理实验时间成本无法接受。

磁场非均匀性无法完全校正：高场下螺线管边缘磁场畸变严重，即使增加校正线圈，空间磁场分布畸变仍会引入无法消除的动量系统误差， $100\text{GeV}/c$ 区间动量精度无法稳定达标，违背物理目标需求。

失超安全风险不可控：磁场翻倍后线圈储存磁能提升 4 倍，一旦发生失超，瞬间释放巨大能量，存在探测器、低温容器损毁安全隐患，安全连锁系统无法完全规避重大事故风险。

Q2: β 放射源时间分辨测试的 PCB 设计

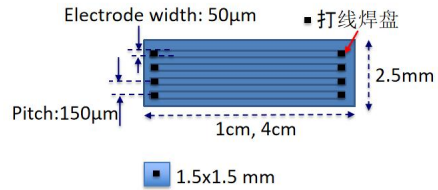
你拿到了一批新型传感器:

- $1.5\text{ mm} \times 1.5\text{ mm}$ 的一通道方形 DC-LGAD 器件, 用于符合和提供时间参考。
- $1\text{ cm} \times 2.5\text{ mm}$ 和 $4\text{ cm} \times 2.5\text{ mm}$ (pitch= $150\text{ }\mu\text{m}$, electrode width= $50\text{ }\mu\text{m}$) 的微条型四通道 AC-LGAD 待测器件

你需要设计一块通用的 PCB 测试板(厚 0.7 mm), 用于 β 放射源(如 Sr-90) 评估微条型四通道 AC-LGAD 器件的时间分辨率。考虑具体放大电路设计的前提下, 为了保证获取到真实的物理极限时间分辨率,

你的 PCB 在版图和机械结构设计上必须遵守哪些关键原则? 重点论述 4-5 项原则, 并简要说明每项原则如何影响时间分辨率。

- 右边在几种常见数据接口和数据线类型中, 你会选择哪一种用于本测试板? 说明原因。
- 画出 PCB 的俯视图和剖面示意图, 并予以适当标注: 传感器位置, 焊盘位置, 打线路径, 数据接口(可用方形轮廓表示)等等。剖面图需包括 β 测试时的 PCB 布局, 双板设计需粗略估计传感器之间的距离。



一、(a) PCB 版图与机械结构关键设计原则 (5 项核心原则, 每项论述对时间分辨的影响)

本测试目标是提取 LGAD 真实物理极限时间分辨, 时间分辨核心制约因素: 信号传输时延差、信号上升沿退化、串扰噪声、阻抗不匹配反射、寄生 RC 时延、机械定位偏差, PCB 设计围绕抑制以上效应展开。

原则 1: 全差分/单端信号 50Ω 可控阻抗匹配走线, 严格等长布线

设计要求

PCB 板材厚度 0.7 mm , 基于 FR4 介电常数计算微带线/带状线线宽, 所有 LGAD 电极输出走线统一做 50Ω 特征阻抗控制; 4 通道 AC-LGAD 四条信号走线、DC-LGAD 参考触发走线长度严格等长 (时延差 $<5\text{ ps}$); 器件焊盘到连接器走线无分支、无短线 Stub。

对时间分辨的影响

阻抗失配会产生信号反射, 造成波形振铃、上升沿畸变, 前沿定时点偏移, 直接劣化时间分辨; 50Ω 匹配消除反射, 保证前沿陡峭。

走线长度不等会引入固定传输时延差, 多通道符合计时出现固有时间偏移, 掩盖器件本征时间分辨; 等长布线消除通道间传输时延偏差, 测量得到器件真实时间性能。

原则 2: 极小化信号回路面积, 完整连续参考地平面分割, 分离

模拟信号区与数字接口区

设计要求

PCB 底层完整实心 GND 地平面，信号走线紧贴地平面（微带结构）；传感器焊盘紧邻地过孔，缩短返回电流路径；**模拟探测区（LGAD 器件）与数字接口分区布局**，用地分割槽隔离，数字走线不穿越模拟敏感区。

对时间分辨的影响

信号与回流地构成的环路面积越大，电磁耦合串扰越大； β 射线产生的微弱瞬态电荷信号极易被数字噪声干扰，噪声会随机调制信号前沿，造成定时抖动（时间分辨变差）。完整地平面缩小回路面积、隔离数字噪声，降低定时抖动，还原真实信号前沿。

原则 3：传感器焊盘/打线焊盘极致缩短，极小化寄生电容、寄生电感

设计要求

LGAD 电极打线焊盘紧邻器件边缘，打线长度控制 $<1\text{mm}$ ；焊盘尺寸仅满足键合工艺最小尺寸，不做大冗余焊盘；焊盘下方禁止大面积铜箔，减少对地寄生电容；键合引线下方密集地过孔，降低引线电感。

对时间分辨的影响

LGAD 输出为瞬态弱电荷信号，寄生电容 C 、引线电感 L 构成 LC 振荡、 RC 充放电慢化信号上升沿。时间分辨高度依赖信号上升沿陡峭程度，寄生参数越大，前沿越平缓，定时误差越大；缩短焊盘与打线长度可压低寄生 L 、 C ，保留器件本征快上升沿。

原则 4：机械定位高精度布局，DC-LGAD 参考探测器与 AC-LGAD 待测器件近距离平行排布

设计要求

PCB 表面预留精密定位基准 mark 点；DC-LGAD（时间参考）与微条 AC-LGAD 待测件平行放置，器件有源区垂直间距控制 $2\text{--}5\text{mm}$ ；所有器件贴装焊盘尺寸公差 $\pm 20\mu\text{m}$ ，保证放射源 β 粒子可同时轰击参考与待测探测器，粒子飞行距离差极小。

对时间分辨的影响

β 粒子从放射源到两片探测器存在飞行时间差，若器件空间距离过大，粒子飞行时延离散会叠加到测量时序抖动中，人为放大测得时间分辨；近距离平行排布最小化粒子飞行时间固有偏差，测量抖动仅来源于 LGAD 器件本身，保证评估的是器件物理极限而非几

何飞行误差。

原则 5：高带宽射频连接器就近布局，短直走线，杜绝高速信号与低速数据线平行长距离耦合

设计要求

射频输出连接器紧贴传感器模拟区域，信号走线短且直线，避免 90°直角拐角（采用 45°斜角）；数字接口（电源、控制）走线远离所有模拟信号走线，平行耦合长度<2mm。

对时间分辨的影响

长、弯折走线会增大传输损耗与色散，高频快信号边沿展宽；数字数据线开关噪声会通过容性/感性耦合串入探测信号，造成前沿随机抖动；短直射频走线+远离数字走线可维持信号陡峭前沿，抑制串扰定时噪声。

二、(b)接口选型：选择 MMCX 射频接口（侧卧型，高度 1.5mm），舍弃 SMA、扁平排线、RJ45

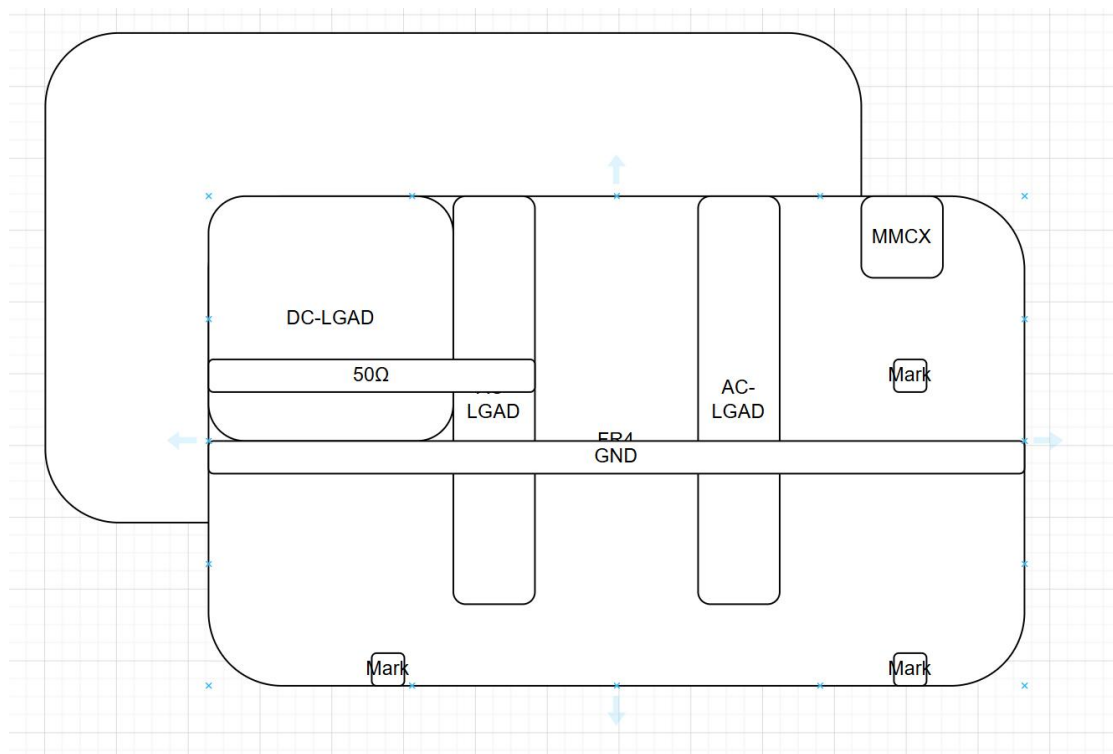
1.选型结论：侧卧型 MMCX 连接器

2.分项对比与选择理由

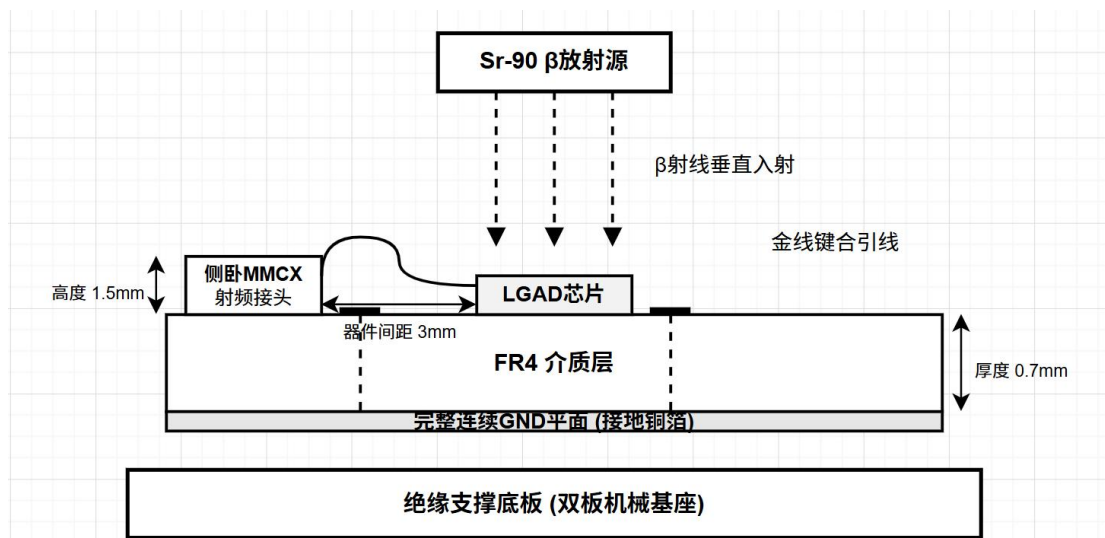
接口类型	缺陷，不适合本测试	MMCX 优势
SMA（高 4~7.5mm）	体积大、高度高，抬高 PCB 整体厚度，放射源贴近测试时遮挡β粒子；引脚寄生电感大，带宽上限低于 MMCX；占用大量 PCB 面积，无法近距离排布多通道 LGAD	1.超低高度侧卧款仅 1.5mm，不阻挡放射源β射线，机械适配 0.7mm 薄 PCB； 2.50Ω标准射频阻抗，带宽可达数十 GHz，完美匹配 LGAD 纳秒级快脉冲信号； 3.体积小巧，四通道 AC-LGAD 可并排布置 4 个 MMCX，走线极短； 4.同轴屏蔽结构，完全隔绝外部电磁噪声，不引入定

		时抖动
扁平排线 FlatRibbon	无阻抗控制、无屏蔽，数字串扰极强；多通道信号互相串扰，瞬态快信号前沿严重畸变，完全无法用于时间分辨测量	MMCX 单通道独立同轴屏蔽，通道间隔离度极高，四通道无串扰
RJ45 以太网	差分数字低速接口，非 50Ω 射频阻抗，带宽仅百兆级，无法传输纳秒级快脉冲；网线差分耦合噪声大，严重劣化时间抖动	MMCX 专为高速单端脉冲信号设计，匹配 LGAD 单电极电荷输出信号

LGADPCB 俯视图



PCB 纵向剖面示意图



Q3: 拓扑结构的选择: 为何不建一个“球”?

假设你正在参与下一代强子对撞机(类似 HL-LHC)的探测器设计讨论。有人提议将下一代探测器设计成“多层球面洋葱皮”结构, 彻底放弃目前的“圆柱形桶部+垂直端盖(Barrel+Endcap)”分层拓扑。请明确选择赞同或反对该提议, 并从物理、磁场系统集成三个维度综合讨论。如果你选择反对该球面提议, 请说明原因并提出一个你认为更合理的拓扑结构(画出简易示意图), 并说明为什么它比球面更优。

一、立场明确: 完全反对“多层球面洋葱皮”全球形探测器拓扑

下文从物理性能、磁场系统、工程集成三大维度逐条论证球面结构固有缺陷, 随后给出优化拓扑: 传统改良型圆柱桶部+锥形端盖(Barrel+ConicalEndcap), 并对比球面说明其优越性, 附带简易绘图说明。

二、三大维度论证球面方案的致命缺陷

(1) 物理维度: 对撞机动力学、粒子探测、材料辐射均匀性全面劣化

对撞束流几何不匹配, 覆盖效率与探测不对称

强子对撞机束流沿 Z 轴(水平束管)对撞, 末态粒子分布以束流轴为中心, 用赝快度 η 描述角度:

桶部区域 $|\eta| < 1.4$ (横向大角度粒子), 端盖 $1.4 < |\eta| < 5$ (向前/向后小角度束流方向粒子);

完整球面以原点为球心, 近束管两极 ($\eta \rightarrow \pm \infty$) 球面曲率极大, 内层探测器被迫极度靠近束流管道, 无法预留束管、冷却、线缆空间; 两极球面单元面积极小, 难以布置像

素硅探测器，前向粒子探测出现巨大死区。

现有圆柱结构天然适配柱坐标 (r, ϕ, z) ，完美匹配束流柱对称分布，展速度分段设计无几何浪费。

材料厚度与物质相互作用起伏极大，能量刻度畸变

球面不同 θ 极角处，粒子穿过的探测器材料层数、辐射长度 X_0 、核相互作用长度 λ 完全不同：

赤道 ($\theta = \pi/2$) 粒子沿球面法向入射，材料厚度最小；

两极 ($\theta \rightarrow 0/\pi$) 粒子斜穿多层球面，路径物质厚度暴涨；

带电粒子能损、光子簇射能量重建、 μ 子穿透能量损失会随角度剧烈波动，系统误差极大，无法统一能量刻度。

圆柱桶部粒子始终垂直径向入射，材料厚度各向均匀；端盖仅前向小角度，厚度可控校准。

辐射损伤分布严重不均，寿命成本失控

束流碰撞产生的辐射剂量沿束轴 (Z) 指数增强，球面两极紧贴束管，辐射通量比赤道高数十倍：内层球面两极硅像素、读出电子学会快速老化漏电流飙升，需频繁更换昂贵辐照硬化探测器；圆柱结构可单独加厚/替换前向端盖组件，维修成本远低于整体球面。

径迹重建几何畸变

粒子径迹重建依赖柱坐标 $r - \phi$ 平面的恒定磁场弯曲，球面每层半径 $r(\theta)$ 随极角变化，同一层探测器径向距离不固定，寻迹、拟合算法复杂度指数上升，位置分辨、动量分辨显著下降。

(2) 磁场系统维度：超导螺线管磁场与球面完全不兼容，造价与性能双崩盘

对撞机标配为轴向螺线管磁场 (ATLAS/CMS 均为主螺线管 B//Z)

螺线管产生平行束流 Z 轴的均匀磁场，圆柱桶部径向垂直磁场，带电粒子洛伦兹力 $F = qv \times B$ 恒定，横向动量 p_T 测量精度最优；

球面探测器任意极角处，粒子入射方向与磁场夹角连续变化，洛伦兹力大小随 θ 改变，动量分辨随角度严重退化。

球面超导磁体制造、储能、应力无解

若包裹完整球面超导线圈：球形超导线圈无法产生均匀轴向磁场，磁场畸变覆盖全探测区；

球面结构机械应力极难平衡，低温下热胀冷缩会导致多层球面探测器形变、硅像素单元错位；

球形磁体储能、超导电缆长度、低温制冷容积远大于同探测覆盖范围的圆柱螺线管，建设、制冷、运行能耗成本提升 3~5 倍。

磁通量回流轭铁无法配套

现有圆柱探测器外侧包覆圆柱形铁轭铁闭合磁通量；球面外侧配套球形轭铁体积、重量成倍增加，地下实验坑道空间无法容纳。

(3) 工程集成维度：装配、线缆、冷却、维护、辐射防护全链条无法落地

分层装配与检修完全不可行

洋葱皮式多层球面是封闭壳体，内层探测器被外层球面完全包裹：若内层硅像素、读出板故障，必须逐层拆除全部外层球面探测器，单次检修周期长达数月；

圆柱+端盖为分段模块化结构，桶部、左右端盖可独立吊装拆分，单块探测器模块可单独抽出更换，适配 HL-LHC 高辐照下频繁维护需求。

线缆、冷却管路布线几何灾难

每层球面探测器读出电缆、冷却水管需沿球面曲面布线，两极狭小空间内数千根线缆堆叠，散热困难、串扰严重；圆柱结构线缆沿 Z 向轴向平行引出，布线规整，散热、屏蔽易于实现。

支撑结构自重与形变失控

多层大尺寸球面探测器自重产生径向、切向复合应力，低温运行下微小形变会造成硅探测器微米级位置偏移，破坏微米级位置分辨；圆柱支撑仅承受单向径向载荷，机械支撑设计成熟、形变可控。

束流管道干涉

完整球面两极必须开孔穿过束流管道，开孔处球面探测器出现大面积无法填补的探测死区；圆柱天然预留两端束流通道的，无强制死区。

三、更优拓扑：改良型圆柱桶部+锥形端盖 (Barrel+ConicalEndcap)

1.结构定义

中心碰撞原点为坐标系(0,0,0)，束流沿±Z轴；

圆柱桶部 Barrel：固定半径R的中空圆柱体，覆盖赝快度 $|\eta| < 1.4$ ，多层同轴圆柱洋葱皮分层（像素硅、径迹硅、电磁量能器、强子量能器、μ子探测器）；粒子沿径向垂直

入射，材料厚度、磁场响应完全均匀；

锥形端盖 ConicalEndcap：左右两侧为圆台锥形（非垂直平板），从桶部半径平滑收缩至束管孔径，覆盖 $1.4 < |\eta| < 5$ 前向小角度粒子；锥形斜面匹配前向粒子入射角度，相比传统垂直平板端盖大幅减小斜穿材料厚度，同时避开球面两极几何缺陷。

2.相比球面方案的核心优势总结

物理匹配最优：柱坐标天然适配束流柱对称分布，赝快度分段无死区，粒子穿过材料厚度均匀，能量、动量刻度系统误差极小；

磁场完美兼容：配套标准轴向超导螺线管，桶部区域磁场垂直粒子运动方向， p_T 测量精度达到设计极限；锥形端盖磁场畸变远低于球面；

工程可落地：模块化分块吊装，桶部、左右端盖独立拆装，线缆沿轴向规整布线，冷却、支撑结构成熟，造价、维护成本大幅降低；

辐射可控：前向锥形端盖可独立加厚辐照防护层，单独更换高辐射区模块，无需整体拆卸探测器。

Q3: 拓扑结构的选择：为何不建一个“球”？

假设你正在参与下一代强子对撞机（类似 *HL-LHC*）的探测器设计讨论。

有人提议将下一代探测器设计成“多层球面洋葱皮”结构，彻底放弃目前的“圆柱形桶部 + 垂直端盖 (*Barrel + Endcap*)”分层拓扑。请明确选择赞同或反对该提议，并从物理、磁场系统集成三个维度综合讨论。如果你选择反对该球面提议，请说明原因并提出一个你认为更合理的拓扑结构（画出简易示意图），并说明为什么它比球面更优。